

مطالعه تغییرات ساختاری و دینامیکی پروتئین GSK3 β در حضور لیگاند CHIR99021 با استفاده از شبیه سازی و داکینگ مولکولی

* جواد کاظمی^۱، حسین شاهسوارانی^{۲,۳*}، پرویز پاکزاد^۱ و محمد علی شکرگزار^۴

^۱ ایران، تهران، دانشگاه آزاد اسلامی، واحد تهران شمال، دانشکده علوم زیستی، گروه زیست شناسی سلولی و مولکولی

^۲ ایران، تهران، دانشگاه شهید بهشتی، دانشکده علوم و فناوریهای زیستی، گروه زیست شناسی سلولی و مولکولی

^۳ ایران، تهران، انتستیتو پاستور ایران، آزمایشگاه طب بازساختی و نوآوری های پزشکی

^۴ ایران، تهران، انتستیتو پاستور ایران، گروه بانک سلولی

تاریخ دریافت: ۱۴۰۰/۰۸/۱۴ تاریخ پذیرش: ۱۴۰۱/۰۱/۰۸

چکیده

گلیکوژن ستاز کیناز ۳ بتا (GSK3 β) یک سرین/ترئوتین کیناز چند عملکردی است که عنوان یک پروتئین اصلی در مسیر پیام رسانی WNT در عملکرد های مختلف سلول های بنیادی پرتوان (PSCs) شامل، خودنوزایی، بقا و تمایز اینفای نقش می کند. از آنجایی که مهار GSK3 β سبب تمایز PSCs می شود استفاده از مهار کننده های مناسبی که در غلظت کمتر باعث مهار GSK3 β شود می تواند به لحاظ اقتصادی مقرون بصرفه باشد. CHIR99021 یکی از مهمترین مهار کننده های GSK3 β است که با استفاده از سرور Way2drug روند این مهار مورد پیش بینی قرار گرفت تا بتواند جهت بهبود سیستم های کشت و تمایز PSCs مورد استفاده قرار گیرد. در مطالعه حاضر، رویکرد های مختلف شبیه سازی دینامیک مولکولی (MD) مثل ریشه میانگین مجازور انحراف (RMSD)، ریشه میانگین مجازور نوسانات (RMSF)، تعداد پیوند هیدروژنی، آنالیز مؤلفه اصلی (PCA)، چشم انداز انرژی آزاد گیس، شعاع زیراسیون در حضور عدم حضور CHIR99021 نیز مورد ارزیابی قرار گرفت و علاوه بر آن بمنظور بررسی دقیق تر برهمکنش لیگاند-پروتئین با استفاده از داکینگ انعطاف پذیر با سرور سوئیس داک انجام شد و میزان پایداری و تغییرات ساختاری پروتئین GSK3 β با استفاده از نرم افزار GROMACS 2021.1 شبیه سازی شد به علاوه، خصوصیات فارماکوکیتیکی این ترکیب با استفاده از نرم افزار افزار-2 2015-2016 Schrödinger, LLC, New York, NY, Release ۲۰۱۵-۲ نتایج این مطالعات نشان داد که CHIR99021 از طریق ایجاد پیوند هیدروژنی و واندروالسی در جایگاه فعل GSK3 β متصل می شود و اثر مهار کننده خود را ایجاد می کند و در نتیجه سبب ناپایداری ساختار GSK3 β می شود. همچنین نتایج داکینگ و شبیه سازی دینامیکی روشن ساخت این ترکیب به نحو موثرتری می تواند برای القای تمایز سلول های بنیادی پرتوان مورد استفاده قرار گیرد و به لحاظ اقتصادی مقرون به صرفه است.

واژه های کلیدی: سلول های بنیادی پرتوان، CHIR99021، ADMET، دینامیک مولکولی (MD)، داکینگ مولکولی

* پست الکترونیکی نویسنده اول: mashokrgozar@pasteur.ac.ir و hosein.shahsavarani@gmail.com

مقدمه

گلیکوژن ستاز کیناز ۳ بتا (GSK3 β)، یک کیناز پروتئین چند عملکردی است که عنوان تنظیم کننده اصلی خود نوزایی و تمایز سلول های بنیادی پرتوان (PSCs) عمل می کند. علاوه، این پروتئین با چندین بیماری شایع از جمله سرطان، دیابت و التهاب ارتباط دارد و در انواع عملکرد های فیزیولوژیکی مثل بیان ژن، تمایز سلول، تکثیر، متابولیسم و بقای سلول نقش دارند [۱, ۲]. در حالیکه فعال سازی مسیر پیام رسانی WNT و در نهایت فعال سازی GSK3 β ، فعالیت خودنوزایی سلول های

بنیادی را القاء می کند و سلول های بنیادی را به سمت خاموش شدن سوق می دهد، مهار این مسیر پیام رسانی سبب آغاز تمایز سلول های بنیادی به سلول های تمایز یافته می شود [۳]. مسیر پیام رسانی WNT یکی از مهم ترین مسیرهای پیام رسانی در تمایز PSCs به انواع مختلف سلول است. تنظیم این مسیر پیام رسانی با کمک ریز مولکول ها (Small Molecules) نقش مهمی در تمایز *in vitro* سلول های بنیادی ایفا می کند. ریز مولکول ها، ترکیبات آلی با وزن مولکولی کم (دالتون) می باشند که در تنظیم فرآیندهای بیولوژیکی، با اندازه ای در حدود ۱ نانومتر نقش دارند. ریز مولکول ها مزایای عمدی ای نسبت به پروتئین های اصلی تنظیم کننده مسیر پیام رسانی WNT مثل DKK1 و Noggin دارند. ریز مولکول ها می توانند از طریق انتشار ساده از عرض غشاء سلول عبور کنند و به بخش های مختلف سلول برسند و نسبت به پروتئین های نوترکیب مقرون به صرفه تر هستند [۴]. با این حال گزارش شده است، یک سری از ریز مولکول ها مهار کننده GSK3 β وجود دارند که در صنعت پزشکی بازساختی مورد استفاده قرار می گیرند.

فعال سازی مسیر پیام رسانی WNT از طریق ریز مولکول های CHIR99021 منجر به تمایز PSCs به رده های مژودرمی می شوند [۵, ۶]. CHIR99021 فعالیت مسیر پیام رسانی WNT را از طریق مهار GSK3 β ، تحت تأثیر قرار می دهد. در نتیجه PSCs را به سمت رده های مژودرمی سوق می دهد [۷, ۸]. فاکتور مؤثر اصلی در پیام رسانی WNT- β -کاتنین است. غیر فعال سازی مسیر WNT سبب تخریب β -کاتنین می شود و منجر به کاهش سطح β -کاتنین در سیتوزول می شود. به محض فعال شدن مسیر پیام رسانی WNT- β -کاتنین در سیتوزول تجمع می یابند و به هسته منتقل می شوند و با فاکتورهای رونویسی خاص برهمکنش می کنند [۹, ۱۰].

شبیه سازی دینامیک مولکولی (MD) مولکول های زیستی اغلب در حوزه ای شبیه محاسباتی طبقه بندی می شود اما ریشه علمی این تکنیک به شبیه پلیمر و زیست شناسی ساختار در دهه ۱۹۷۰ برمی گردد جایی که برای مطالعه فیزیک، خواص مکانی مولکولی شامل؛ انعطاف پذیری، واپیچش (distortion)، پایداری و شل شدن ساختارها، ساختار های اولیه اشعه ایکس پروتئین ها در مقیاس های کوتاه مدت استفاده می شد [۱۱]. بطور کلی شبیه سازی مولکولی پیشتر در فیزیک پیشگام بود [۱۲]. حوزه شبیه سازی مولکولی از آن زمان تا کنون بسیار پیشرفت کرده است و در حال حاضر شبیه سازی ها به طور مکرر در مقیاس چند میلی ثانیه انجام می شود که در این زمان کوتاه می توان چندین بار پروتئین را تا کرد [۱۳]، برهمکنش بین گیرنده ها [۱۴] و ویژگی های عملکردی گیرنده ها را پیش بینی کرد و حتی حالت های انتقالی حدواتسط پروتئین هایی مانند پروتئین های غشایی، را ثبت کرد [۱۵]. این نوع شبیه سازی کلاسیک طولانی مدت همچنان حائز اهمیت است زیرا روش هایی برای مشاهده مستقیم فرآیند های مولکولی که به راحتی از طریق سایر ابزار ها قابل مشاهده نیست، ارائه می دهد. با این حال بسیاری از مطالعات کنونی بطور فزاینده ای به مجموعه های بزرگ شبیه سازی تکیه می کنند که تا حدی با افزایش روز افزون مدل های ساختاری امکان پذیر شده است که با توالی یابی و ژنومیک ساختاری و همچنین تکنیک های جدید برای برآورد خواص پیچیده مولکولی با استفاده از هزاران شبیه سازی کوتاه تر امکان پذیر کرده است [۱۶]. مطالعات جهش های ژنی از این پس می توانند به آسانی مدل سازی شوند و شبیه سازی های کوتاه برای صدها ژن جهش یافته انجام شود. شبیه سازی دینامیک مولکولی کلاسیک بر اساس مدل های تجربی نقش مهمی ایفا می کنند زیرا بیشتر ویژگی های مورد نظر توسط انرژی آزاد تعریف می شود که عموماً به نمونه برداری گسترده ای نیاز دارد و روش های شبیه کوانتومی سنتی نمی توانند برای سیستم های بزرگ کارایی داشته باشند. این پیشرفت ها بدون تلاش تحقیقاتی مهم در الگوریتم های شبیه سازی، بهینه سازی و موازی سازی امکان پذیر نبود. ظهور بسته های نرم افزاری استاندارد مدل سازی

مولکولی مانند *GROMOS* [۱۹]، *CHARMM* [۲۰]، *NAMD* [۲۱]، *Amber* [۱۸] و *GROMACS* [۱۷] مهم بوده است زیرا این نرم افزارها به تحقیقات شبیه سازی و مدل سازی مولکولی کمک شایانی کرده است و تکنیک‌ها را در اختیار محققان علوم زیستی که متخصص شبیه سازی نیستند قرار داده است. ابزار *GROMACS* یکی از اهداف اصلی توسعه بلند مدت برای دست یابی به بالاترین شبیه سازی ممکن در آزمایشگاه‌های تحقیقاتی است. از سال ۲۰۰۹ تاکنون *GROMACS* ۴ در حال توسعه است به طوری که تعدادی از ویژگی‌های جدید به آن اضافه شده است که منجر به انتشار نسخه ۴.۵ این نرم افزار شده است و عملکرد و کارایی برنامه‌های موازی به طور قابل توجهی بهبود یافته است. هدف اصلی این مطالعه بررسی خصوصیات فیزیکی-شیمیایی CHIR99021 عنوان فعال کننده‌های مسیر پیام رسانی WNT از طریق مهار GSK3 β با استفاده از داکینگ مولکولی جهت انتخاب گزینه مناسب برای تمایز PSCs با استفاده از شبیه سازی دینامیک مولکولی (MD) و ارزیابی چندین خصوصیت فارماکو دینامیک یا پیش‌بینی پارامترهای ADMET بترتیب با کمک *schrödinger suite*, *Maestro* و ابزار *QikProp* از بسته نرم افزاری *GROMACS 2021.1* (LLC, New York, NY, Release 2015-2) انجام شد.

مواد و روش

۱- ساختارها

ساختار کریستال پروتئین در حالت کمپلکس با لیگاند با کد 5HNL از بانک اطلاعاتی پروتئین (PDB) بدست آمد (www.rcsb.org). مطالعات ساختار با استفاده از نرم افزارهای *Swiss-PDB viewer 4.10* و *Chimera* انجام شد.

۲- پارامتریزاسیون مولکول‌های لیگاند

برای پارامتریزاسیون مولکول لیگاند از نرم افزار *Antechamber* موجود در بسته نرم افزار *AmberTools* استفاده گردید و در نهایت پارامترهای ایجاد شده با استفاده از اسکریپت ACPYPE به فرمت GROMACS تبدیل شدند.

۳- شبیه سازی دینامیک مولکولی

پروتئین تنها و در حالت کمپلکس به عنوان ورودی برای شبیه سازی دینامیک مولکولی مورد استفاده قرار گرفتند. شبیه سازی دینامیک مولکولی با استفاده از نرم افزار *GROMACS 2021.1* انجام شد. ساختارهای ورودی با میدان نیروی ff99SB+ILDN آماده سازی شدند. وضعیت صحیح هیدروژن هیستیدین‌ها برای تمامی هیستیدین‌های پروتئین در ساختار ایجاد و پیوندهای دی سولفید (در صورت وجود) برای آنژیم تعریف شد. سپس بار سطحی ساختار با افزودن چند یون سدیم و کلر خنثی گردید. پروتئین در لایه‌ای از مولکولهای آب TIP3P به ضخامت ۸ آنگستروم در جعبه مکعبی (cubic) با استفاده از نرم افزار *gmx solvate* قرار داده شد [۲۲-۲۴].

کاهش انرژی بر روی ساختارها با ۱۰۰۰ گام با روش steepest descent به منظور حذف اندرکنش‌های واندروالس و تشکیل پیوندهای هیدروژنی بین مولکولهای آب و کمپلکس صورت گرفت. در مرحله بعد، دمای سیستم به تدریج از ۰ تا ۳۱۰ کلوین به مدت ۲۰۰ پیکوثانیه در حجم ثابت افزایش یافت و پس از آن در فشار ثابت به مدت ۲۰۰ پیکوثانیه سیستم به

All Pa>Pi Pa>0,3 Pa>0,7

Pa	Pi	Activity
0,565	0,014	Protein kinase inhibitor
0,453	0,035	Signal transduction pathways inhibitor
0,406	0,004	TRKB antagonist
0,423	0,046	HMGCS2 expression enhancer
0,377	0,022	Tyrosine kinase inhibitor
0,389	0,059	Autoimmune disorders treatment
0,322	0,034	HIV attachment inhibitor
0,322	0,046	Focal adhesion kinase inhibitor
0,336	0,063	Botulin neurotoxin A light chain inhibitor
0,293	0,020	Janus tyrosine kinase 2 inhibitor

حالت
تعادل
رسانده
شد.
 شبیه
سازی
دینامیک
مولکولی
در دمای
۲۹۸
کلوین و
در مدت

زمان 100 نانوثانیه به انجام رسید. میانکش‌های غیرپیوندی با فاصله 10 آنگستروم به روش PME محاسبه گردید. برای افزایش سرعت محاسبات از الگوریتم SHAKE برای محدود کردن پیوندهای درگیر در اتم هیدروژن استفاده گردید. در نهایت اطلاعات شبیه سازی در فواصل ۸ پیکوثانیه برای انجام آنالیز ذخیره شد.

۴- داکینگ مولکولی

با استفاده از سرور سوئیس داک فرآیند داکینگ مولکولی انجام شد و نتایج آن ثابت کرد که لیگاند CHIR99021 توانایی مهار پروتئین GSK3β را دارد. نتایج اسکور های داکینگ (جدول ۱) نشان می دهد که این لیگاند توانایی برهمکنش بالایی با پیوند های هیدروژنی که با جایگاه فعال این پروتئین ایجاد می کند نقش کلیدی در مهار پروتئین GSK3β ایجاد می کند و مسیر های پیام رسانی WNT نیز در پی آن فعال می شوند.

شکل ۱- پیش‌بینی خواص لیگاند Way 2 drug CHIR99021 با سرور

۵- آنالیز خصوصیات مرتبط با ADMET یا فارماکوکیتیک

خصوصیات ADMET (جذب، متابولیسم، پراکنش، دفع و سمیت) [۲۵، ۲۶] ترکیب شیمیایی ریز مولکول CHIR99021 با استفاده از پارامترهای قرار دادی پروتوكل *QikProp* نسخه ۴.۴ از بسته نرم افزاری *Maestro* [۲۷] آنالیز شد. پارامترهای *in silico* (Schrödinger, LLC, New York, NY, Release 2015-2) شیمیایی که از طریق مدول *QikProp* قابل پیش‌بینی هستند عبارتند از: وزن مولکولی (MV)، تعداد پیوندهای هیدروژنی (H atoms)، تعداد پیوند هیدروژنی گیرنده، تعداد پیوند های قابل چرخش (Rot)، مساحت کل سطح قابل دسترس حلال دهنده، تعداد پیوند هیدروژنی دهنده، تعداد پیوند های SASA (Surface Area of Amino Acid residues)، میزان کرویت (PSA)، حجم مولکولی (بر حسب آنگستروم مکعب)، مساحت سطح قطب پیوند واندروالسی (Polar Surface Area)، درصد جذب ریز مولکول از دهان انسان (%HOA)، حلالیت در آب (globularity)، $\log \text{S} = \log \text{dmol dm}^{-3}$ است و نشان دهنده ی غلظت حل شونده در محلول اشباع است). مهار کانال های HERG K^{+} ، $\log IC_{50}$ ، $\log K_{hsa}$ ، $\log QPlog Po/w \leq 5$ اتصال به پروتئین سرم، قانون Lipinski's rule of five (شامل: $500 > \text{دالتون} > \text{وزن مولکولی}$)، قانون Jorgensen's rule of three (شامل: $- > \text{پیوند هیدروژنی دهنده}$ ، $10 \leq \text{پیوند هیدروژنی گیرنده}$ [۲۸])، قانون PCaco $> 22 \text{ nm/s}$ و $QPlog S < 7$ تعداد متابولیت های اولیه.

نتایج و بحث

۱- آنالیز نتایج داکینگ مولکولی

نتایج پیش‌بینی خواص لیگاند با استفاده از سرور Way2drug انجام شد تأثیر این مولکول آلی بر روی تارگت های مختلف نیز بدست آمد، که در این بین توانایی مهار پروتئین کیناز با احتمال ۵۶ درصد بهترین تارگت برای مولکول آلی مورد نظر است (شکل ۱).

الف- انتخاب پروتئین هدف

پروتئین هدف با شماره دسترسی HLN5 بر اساس رزولوشن مناسب و همچنین کمترین میزان رزیدو گم شده انتخاب شد و سپس با استفاده از نرم افزار کایمرا (Chimera) پروتئین به حالت طبیعی و خالص خود درآمد و تمام لیگاند های غیر مرتبط حذف شدند. در نهایت این پروتئین به همراه فایل لیگاند به سرور سوئیس داک که بر اساس الگوریتم ab-initio فعالیت می کند قرار گرفت و فرآیند داکینگ انجام شد. نتایج حاصل از اسکور داکینگ در جدول ۱ نشان داده شده است.

ب- بررسی برهمکنش لیگاند و پروتئین

بهترین حالت قرار گیری لیگاند در درون جایگاه فعال پروتئین در حالت اول بررسی گردید و پیوند های هیدروژنی آن نیز

Show	Cluster	Element	FullFitness (kcal/mol)	Estimated ΔG (kcal/mol)
●	0	0	-1944.21	-9.35
○	0	1	-1936.89	-9.23
○	0	2	-1931.18	-8.56
○	0	3	-1930.78	-8.48
○	0	4	-1929.74	-8.68
○	0	5	-1928.67	-8.34
○	1	0	-1943.39	-9.30
○	1	1	-1943.38	-9.30
○	1	2	-1935.65	-9.02
○	1	3	-1934.94	-9.02
○	1	4	-1932.70	-8.74
○	1	5	-1932.67	-8.75
○	1	6	-1929.93	-8.59
○	1	7	-1929.64	-8.58
○	2	0	-1939.82	-9.00

نمایش داده شد (شکل ۲).

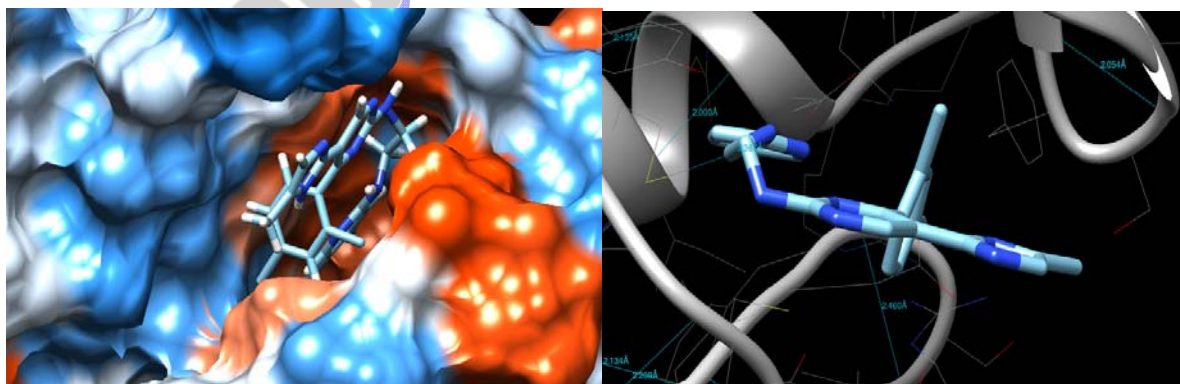
جدول ۱- نتایج اسکور داکینگ

شکل ۲- بررسی نتایج برهmekش لیگاند و پروتئین با نرم افزار کایمرا

۲- آنالیز نتایج شبیه سازی دینامیک مولکولی

نتایج شبیه سازی حاصل از نرم افزار *GROMACS* به صورت ریشه میانگین مجذور انحراف ها (RMSD)، ریشه میانگین مجذور نوسانات (RMSF)، شعاع ژیراسیون و ساختار دوم با استفاده از مازول های *gmx rmsf* *gmx rms* *gmx gyrate* *gmx covar* *gmx sham* و *anaeig* مورد بررسی قرار گرفت. برای آنالیز PCA و انرژی آزاد گیبس بترتیب از مازول های *gmx gyrate* *gmx covar* استفاده شد.

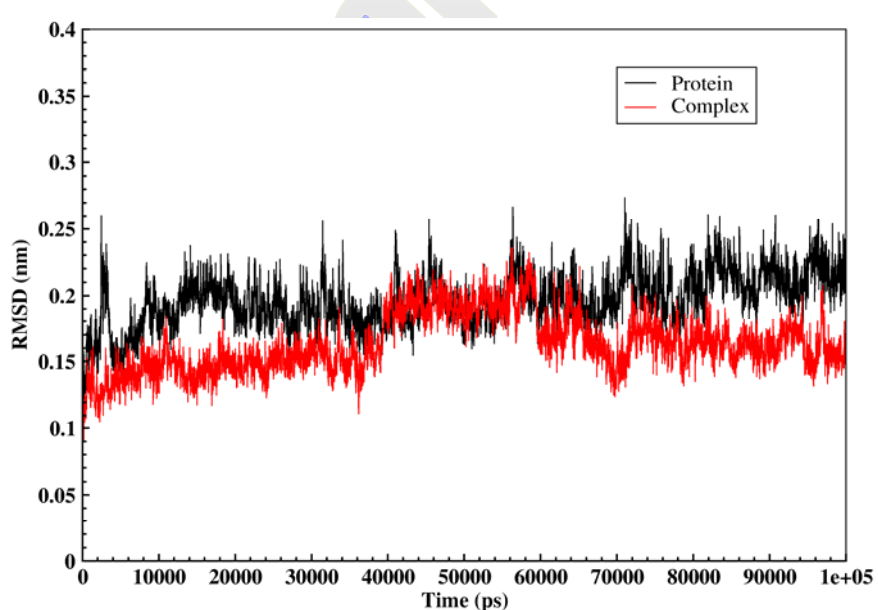
محاسبه RMSD بین ساختارهای بدست آمده و یک ساختار مرجع مهمترین روش برای ارزیابی پایداری شبیه سازی دینامیک مولکولی در طول زمان می باشد. برای مطالعه حرکات اصلی در سیستم، RMSD برای اتم های کربن آلفا بدست آمد. همچنین انعطاف پذیری ساختار بر اساس RMSF اتم های کربن آلفا محاسبه شد. شعاع ژیراسیون نیز که یکی از پارامترهای تعیین کننده در میزان تراکم ساختار می باشد، در طول مدت شبیه سازی بدست آمد.



الف- انحراف ریشه میانگین مربعات
(RMSD)

انحراف ریشه میانگین مربعات RMSD بین ساختارهای ایجاد شده در طول شبیه سازی دینامیک مولکولی در بعد زمان معیاری مناسب و رایج جهت اطمینان از پایداری ساختاری پروتئین های طبیعی و جهش یافته می باشد. بنابراین تغییرات RMSD مربوط به اتم های کربن آلفای پروتئین در هر دو شبیه سازی (در حضور و عدم حضور لیگاند) در طی زمان شبیه سازی (۱۰۰ نانو ثانیه) نسبت به ساختار اولیه محاسبه و استخراج شد. نتایج این محاسبه برای تمام شبیه سازی ها در شکل ۳ نمایش داده شده است. همانطور که در شکل ۳ مشاهده می شود در ابتدای شبیه سازی هر دو نمودار روند صعودی را نشان

داده‌اند. طبق این شکل نمودار RMSD مربوط به پروتئین در عدم حضور لیگاند (Protein)، بعد از زمان حدود ۱۵۰۰۰ پیکوثانیه به مقدار $2/20$ نانومتر رسیده است و بعد از این زمان مقدار آن مجدد کاهش یافته و در زمان 39000 پیکوثانیه به مقدار $18/20$ نانومتر رسیده است. در ادامه مقدار RMSD مربوط به این نمودار مجدد افزایش نسی را نشان می‌دهد و در انتهای شبیه سازی مجدد به مقدار $2/20$ نانومتر رسیده است. درواقع می‌توان چنین نتیجه‌گیری کرد که از زمان 15000 پیکوثانیه تا انتهای شبیه سازی نمودار حول نوسان بسیار مختصراً را نشان می‌دهد. در نمودار مربوط به پروتئین در حالت اتصال به لیگاند (Complex)، در زمان 10000 پیکوثانیه مقدار RMSD به حدود $15/20$ نانومتر رسیده است و تا زمان 38000 پیکوثانیه روی این مقدار ثبات نسبی را نشان می‌دهد. بعد از این زمان مقدار RMSD افزایش ناگهانی داشته و در زمان 42000 پیکوثانیه به مقدار $19/20$ نانومتر رسیده است و تا زمان 59000 پیکوثانیه روی این مقدار باقی می‌ماند و بعد از این زمان شروع به کاهش مجدد می‌کند و در زمان 80000 پیکوثانیه مجدد به مقدار $15/20$ نانومتر می‌رسد و تا انتهای شبیه سازی روی این مقدار ثابت باقی می‌ماند. از این دو نمودار می‌توان چنین نتیجه‌گیری کرد که در هر دو شبیه سازی بعد از زمان 80000 پیکوثانیه پروتئین به تعادل رسیده است.

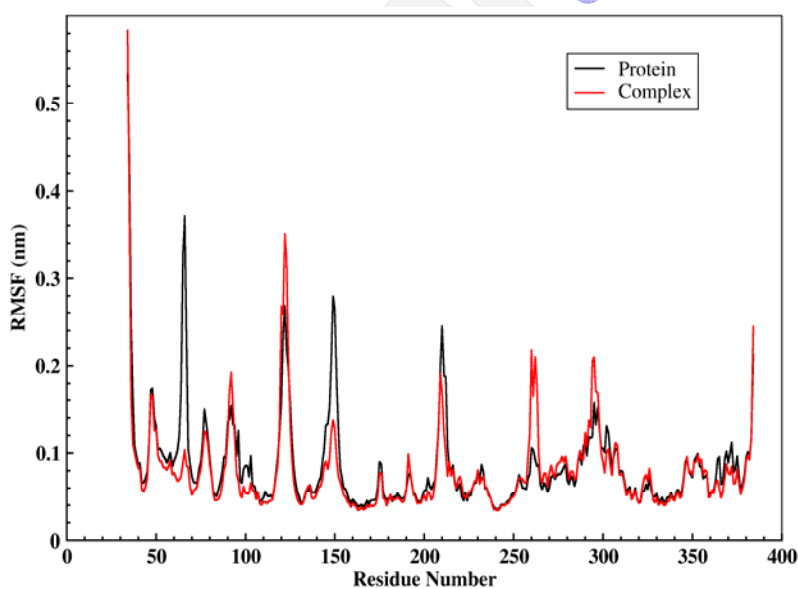


شکل ۳- تغییرات RMSD پروتئین در حضور و عدم حضور لیگاند در طول زمان شبیه سازی دینامیک مولکولی

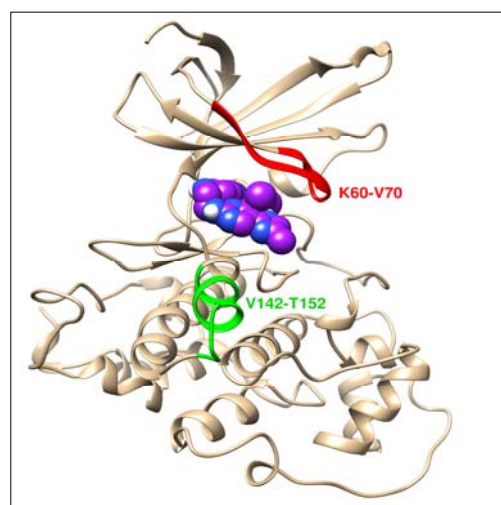
ب- انعطاف پذیری ساختار (RMSF)

رفتار دینامیکی اتم‌های کربن آلفا در ساختار، حاوی اطلاعات کافی جهت بررسی حرکت‌های مهم در پروتئین‌ها بوده و منعکس کننده حرکت‌های کلی ساختار است. بنابراین ریشه میانگین مربعات نوسان (Root Mean Square Fluctuation) اتم‌های کربن‌های آلفا جهت بررسی حرکت‌ها و انعطاف پذیری ساختاری در نظر گرفته شد. در این قسمت یک مقایسه انعطاف پذیری ساختاری بین دو حالت پروتئین در حضور و عدم حضور لیگاند صورت گرفت (شکل ۴). لازم به ذکر است که Protein نشان دهنده پروتئین در عدم حضور لیگاند و Complex مربوط به نمودار پروتئین در حالت

کمپلکس می‌باشد. در هر دو شبیه سازی مقدار RMSF از ناحیه پایدار (۲۰ نانوثانیه انتهایی شبیه سازی) محاسبه شد. همانطور که در شکل ۴ مشاهده می‌شود در حضور لیگاند مقدار انعطاف پذیری در برخی نواحی از پروتئین به شکل چشمگیری کاهش یافته است و تنها در ناحیه آمینواسیدهای شماره ۲۴۸-۲۵۵ مقدار انعطاف پذیری پروتئین در حضور لیگاند نسبت به پروتئین تنها افزایش یافته است. نواحی از پروتئین که در حضور لیگاند میزان انعطاف پذیری آنها نسبت به پروتئین آزاد کاهش یافته است عبارتند از: آمینواسیدهای شماره ۷۰-۶۰ و ۱۴۲-۱۵۲. جهت مطالعه بیشتر دلیل کاهش انعطاف پذیری نواحی مذکور در حالت کمپلکس، این نواحی در ساختار سه بعدی پروتئین (شکل ۵) نشان داده شده اند. همانطور که در شکل ۵ مشاهده می‌شود دو ناحیه دارای انعطاف پذیری پایین در ناحیه اتصالی لیگاند قرار دارند و درواقع می‌توان چنین گفت که اتصال لیگاند به پروتئین باعث کاهش انعطاف پذیری این نواحی شده است.



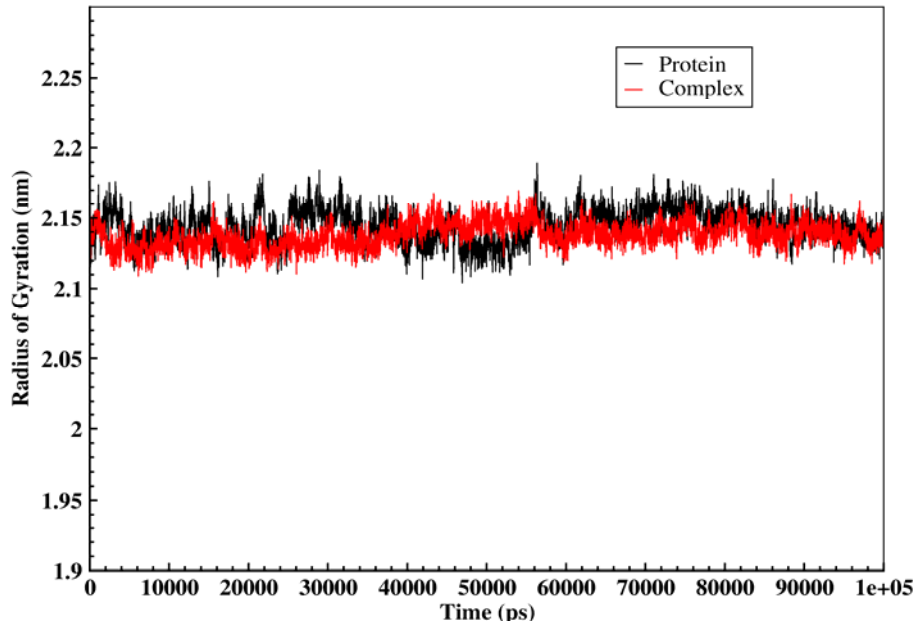
شکل ۴- مقایسه میزان انعطاف پذیری (RMSF) آمینواسیدهای پروتئین در حضور و عدم حضور لیگاند



شکل ۵- نواحی دارای انعطاف پذیری پروتئین در حالت کمپلکس نسبت به حالت آزاد

ج-شعاع ژیراسیون (Radius of Gyration)

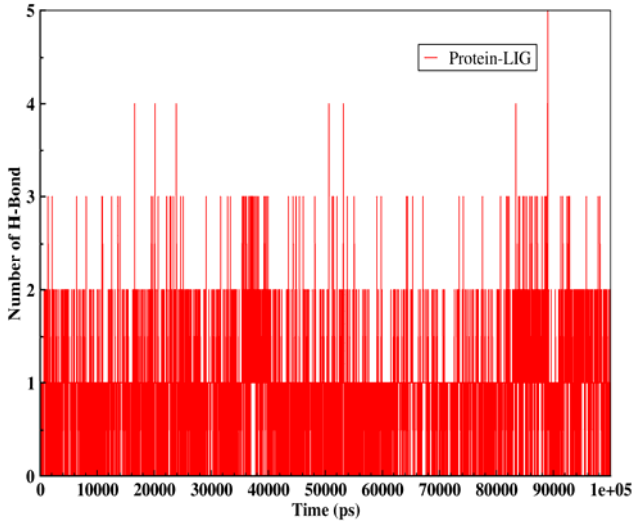
شعاع ژیراسیون یکی از پارامترهای های مهم در بررسی و مطالعه تغییرات فشرده‌گی پروتئین در طول زمان شبیه سازی دینامیک مولکولی می‌باشد. هرقدر که در طول شبیه سازی دینامیک مولکولی میزان شعاع ژیراسیون کاهش پیدا کند نشان دهنده فشرده تر شدن پروتئین می‌باشد و بالعکس با افزایش میزان شعاع ژیراسیون اندازه پروتئین نیز بیشتر شده و به تعبیری پروتئین بازتر می‌باشد. در شکل ۶ تغییرات اندازه پروتئین در طول زمان شبیه سازی دینامیک مولکولی برای پروتئین در حضور و عدم حضور لیگاند نشان داده شده است. همانطور که در شکل ۶ مشاهده می‌شود شعاع ژیراسیون پروتئین در حضور و عدم حضور لیگاند تغییر چشمگیری را نداشته و بعد از زمان حدود ۸۰۰۰۰ پیکوثانیه دو نمودار کاملاً روی هم منطبق شده اند. همچنین اندازه متوسط پروتئین در هر دو شبیه سازی در حالت تنها و کمپلکس بترتیب برابر با ۲/۱۴۴ و ۲/۱۴۰ نانومتر می‌باشد. درواقع مقایسه اندازه میانگین شعاع ژیراسیون نشان می‌دهد که در حضور لیگاند اندازه شعاع ژیراسیون پروتئین تغییر محسوسی را نشان نمی‌دهد.



شکل ۶- تغییرات شعاع ژیراسپون پروتئین در حضور و عدم حضور لیگاند در طول شبیه سازی دینامیک مولکولی

د-تعداد پیوندهای هیدروژنی بین پروتئین و لیگاند در طول شبیه سازی

بالا بودن تعداد میانکنش‌های گیرنده با لیگاند نشان دهنده پایداری لیگاند در جایگاه خود روى پروتئین می‌باشد. به همین دلیل یکی از فاکتورهای مهم در پایداری لیگاند در جایگاه اتصالی روی پروتئین، بررسی تعداد میانکنش‌های هیدروژنی می‌باشد. میانکنش هیدروژنی در واقع بین یک گروه عاملی دهنده هیدروژن و یک گروه گیرنده هیدروژن تشکیل می‌شود. در اتصال لیگاند به پروتئین در ابتدای شبیه سازی دینامیک مولکولی، لیگاند تا زمانی تغییر جایگاه می‌دهد که بتواند بیشترین میانکنش را با پروتئین برقرار کند. این میانکنش‌ها شامل میانکنش واندروالس، الکترواستاتیک و هیدروژنی می‌باشد. در شکل ۷ تغییرات تعداد میانکنش‌های هیدروژنی بین پروتئین و لیگاند در طول زمان شبیه سازی دینامیک مولکولی نشان داده شده است. همانطور که در شکل ۷ مشاهده می‌شود تعداد میانکنش‌های هیدروژنی بین پروتئین و لیگاند در اکثر موقع شبیه سازی بین ۱ و ۲ عدد میانکنش نوسان را نشان می‌دهد. همچنین طبق این نمودار در برخی از زمان تعداد میانکنش‌ها به ۳ و در موقع کم نیز به ۴ و ۵ میانکنش رسیده است و به طور میانگین $1/12$ میانکنش در زمان پایدار شبیه سازی دینامیک مولکولی (۰۰۰۰۰ پیکوثانیه انتهای شبیه سازی) تشکیل شده است.



شکل ۷- تغییرات تعداد میانکنش‌های هیدروژنی بین پروتئین و لیگاند در طول زمان شبیه سازی دینامیک مولکولی

ه-آنالیز حرکت‌های اصلی درون مولکولی (Principal Component Analysis)

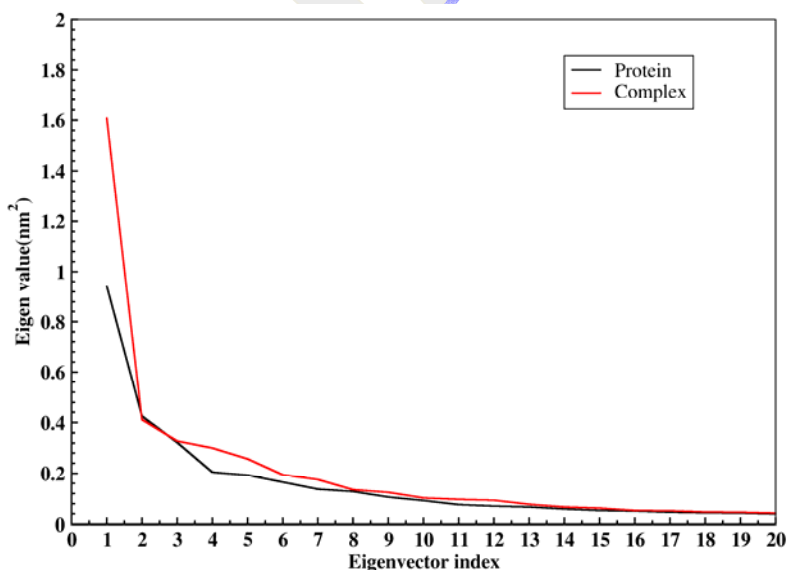
شبیه سازی دینامیک مولکولی به ما این امکان را می‌دهد که بتوانیم رابطه بین دینامیک و عملکرد پروتئین‌ها را مورد ارزیابی و مطالعه قرار دهیم. عوامل مختلف مانند تغییرات دمایی، جهش زایی و سایر فاکتورها می‌توانند روی حرکات قسمت‌های مختلف پروتئین تأثیر گذار باشند. برای بررسی حرکات اصلی و ضروری درون مولکولی، آنالیز تجزیه به مؤلفه‌های اصلی (PCA) یکی از قویترین و مهمترین تکنیک‌های موجود می‌باشد. در ادامه برای آنالیز دقیق تر شبیه سازی پروتئین در حضور و عدم حضور لیگاند، و همچنین پیش‌بینی حرکات هماهنگ بزرگ (large-scale collective motions) روش PCA مورد استفاده قرار گرفت. مؤلفه‌های اصلی (PC) پروتئین به وسیله ماتریکس کوواریانس بردارهای ویژه و تغییر در طول ترازکتوری حاصل از شبیه سازی تعریف می‌شود. در شکل ۸ نمودار مقادیر ویژه (eigenvalue) بدست آمده از مورب سازی (diagonalization) ماتریکس کوواریانس نوسان‌های اتم‌های بدن (back bone) در پروتئین در حضور و عدم حضور لیگاند برای هر بردار ویژه (eigenvector) نشان داده شده است.

همانطور که در شکل ۸ مشاهده می‌شود مقادیر eigenvalue مربوط به حرکات هماهنگ و بزرگ بوده که به سرعت دامنه آن کاهش یافته و در بردارهای ویژه بعدی نشان دهنده حرکات محدود و محلی کوچک در پروتئین می‌باشد. همانطور که در بالا ذکر شده است به هر کدام از مقادیر eigenvalue به ازای هر بردار ویژه یک PC گفته می‌شود. همانطور که در شکل ۸ مشاهده می‌شود در دو PC اول که PC1 و PC2 گفته می‌شود بیشترین دامنه حرکات ممکن مشاهده می‌شود. طبق این شکل دامنه حرکات در PC1 برای پروتئین در دو شبیه سازی در حالت آزاد و کمپلکس بترتیب برابر با $1/61$ و $0/942$ نانومتر مربع می‌باشد و این در حالی است که در PC2 در هر دو شبیه سازی مقدار دامنه حرکات تقریباً یکسان بوده و بترتیب برابر با $0/412$ و $0/425$ نانومتر مربع می‌باشد. درواقع از نمودار می‌توان چنین نتیجه‌گیری کرد که دامنه حرکات در PC1 در عدم حضور لیگاند بسیار بالا می‌باشد.

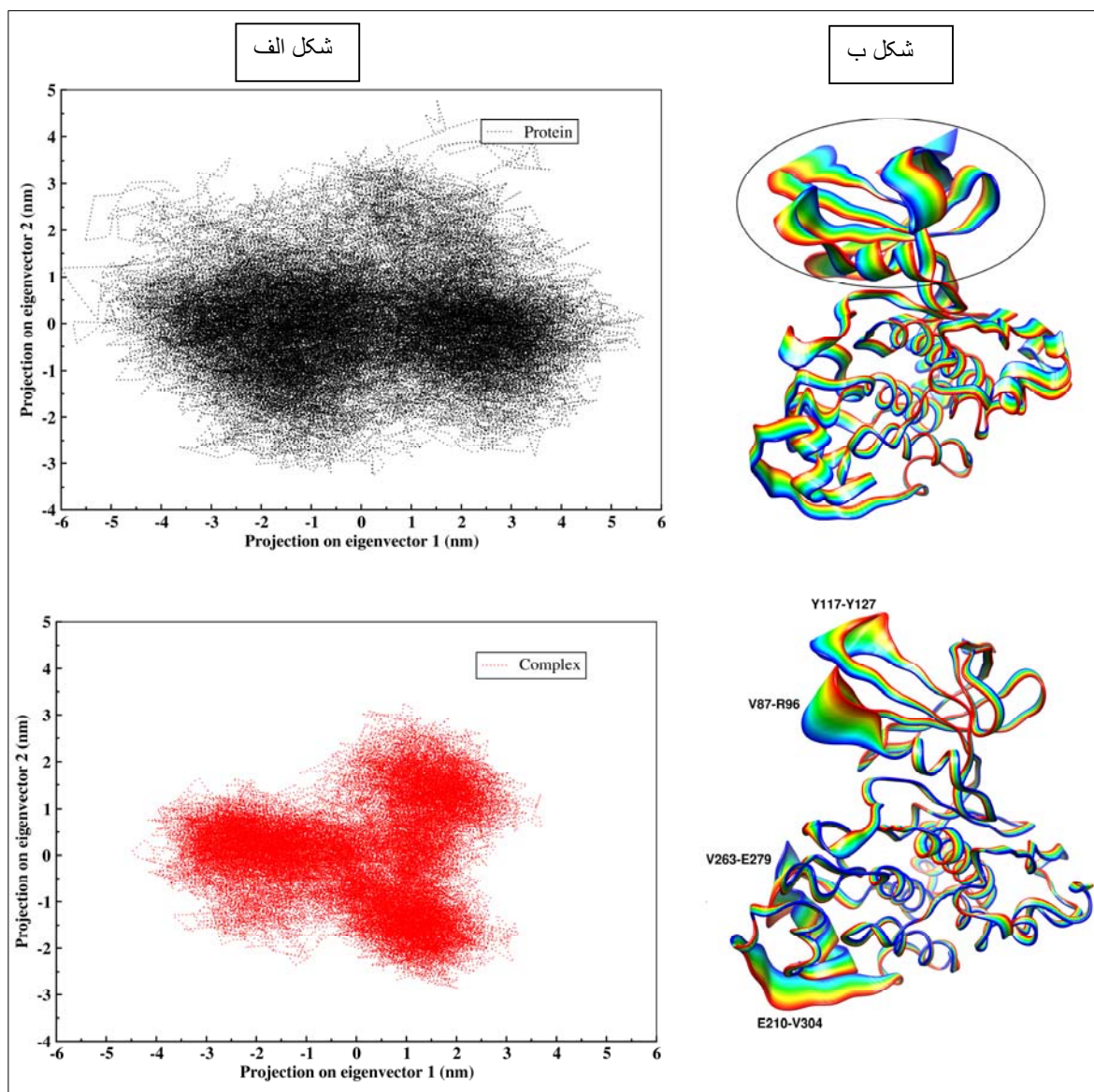
در ادامه جهت بررسی بهتر دامنه و گسترده‌گی حرکتی پروتئین در حضور و عدم حضور لیگاند در فضای فاز (phase space)، ترازکتوری‌های بدست آمده از دو PC اول (PC1 و PC2) به صورت نمودار دو بعدی و تصاویر سه بعدی در شکل ۹ نشان داده شده است. فضای فاز به فضایی گفته می‌شود که در آن تمام حالت‌های ممکن برای یک سیستم (پروتئین در حضور و عدم حضور لیگاند) نشان داده می‌شود. در شکل ۹ الف (ستون سمت چپ) نیز تمام حالت‌های ممکن برای پروتئین در حضور و عدم حضور لیگاند در دو حالت PC1 و PC2 نشان داده شده است. همانطور که در این شکل مشاهده می‌شود پروتئین در حضور و عدم حضور لیگاند رفتار نسبتاً متفاوتی را نشان می‌دهد. طبق این شکل، پروتئین در عدم حضور لیگاند در محور PC1 در دو کلاستر بزرگ مشاهده می‌شود و در PC2 تنها در یک کلاستر بزرگ پخش شده اند. همچنین طبق این شکل میزان پخش شدگی کنفورماسیون‌های مختلف پروتئین در دو PC بسیار بالا می‌باشد و این در حالی است که در حضور لیگاند در PC1 در دو کلاستر و در PC2 در سه کلاستر نزدیک به هم مشاهده می‌شود. درواقع در حضور لیگاند کلاسترها بسیار متتمرکز می‌باشند و میزان پخش شدگی بسیار پایین می‌باشد.

در شکل ۹ ب (ستون سمت راست) نواحی دارای دامنه حرکتی بالا در ساختار سه بعدی پروتئین نشان داده شده است. همانطور که در این شکل مشاهده می‌شود در عدم حضور لیگاند، دمین کوچک پروتئین (با دایره نشان داده شده است) دامنه حرکتی بسیار بالایی را نشان می‌دهد، این در حالی است که حضور لیگاند در این دمین تنها در دو ناحیه ۱۱۷-۱۲۷ و ۸۷-۹۶ دامنه حرکتی بالا می‌باشد و در بقیه نواحی این دمین دامنه حرکتی آمینواسیدها بسیار پایین هست. مقایسه دمین بزرگ

پروتئین در دو حالت (حضور و عدم حضور لیگاند) نشان می‌دهد که در عدم حضور لیگاند اکثر نواحی دامنه حرکتی نسبتاً بالایی را نشان می‌دهند و این در حالی است که در حضور لیگاند تنها در دو ناحیه ۲۷۹-۲۶۳ و ۳۰۴-۲۰۱ دامنه حرکتی بسیار بالا می‌باشد و در سایر نواحی دامنه حرکتی بسیار پایین هست. درواقع از این تصاویر می‌توان چنین استنتاج کرد که در عدم حضور لیگاند اکثر نواحی پروتئین دامنه نوسان بالایی را دارا می‌باشد و در حضور لیگاند نواحی پرحرکت در نواحی مشخصی متتمرکز شده است و درواقع همین عوامل باعث شده‌اند که در عدم حضور لیگاند کنفورماتیون‌های مختلف پروتئین در فضای فاز بسیار پخش باشند و در حضور لیگاند در کلاسترها بسیار متتمرکز قرار گیرند (شکل ۹ الف). همچنین در شکل ۱۰ مقدار انعطاف پذیری آمینواسیدها در فضای PC1 نشان داده شده‌اند. همانطور که در شکل ۱۰ مشاهده می‌شود در عدم حضور لیگاند آمینواسیدهای ۱۱۵-۳۵ انعطاف پذیری بسیار بالایی را نشان می‌دهند. همچنین آمینواسیدهای شماره ۱۵۰-۱۳۵ و ۲۹۵-۲۷۵ مقدار انعطاف پذیری نسبتاً بالایی را نسبت به حالت کمپلکس نشان می‌دهند. در حالت کمپلکس تنها در ۴ ناحیه (که در شکل ۹ ب نیز اشاره شده است) مقدار انعطاف پذیری پروتئین بسیار بالا می‌باشد.



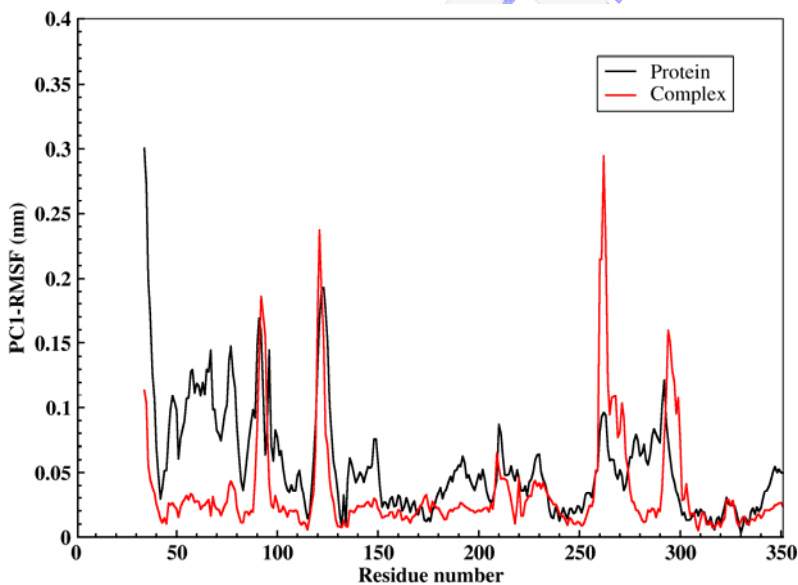
شکل ۸- نمودار مقادیر ویژه در برابر شاخص بردار ویژه مربوطه که از ماتریکس کوواریانس نوسان اتم‌های بدنه در طول شبیه سازی بدست آمده است



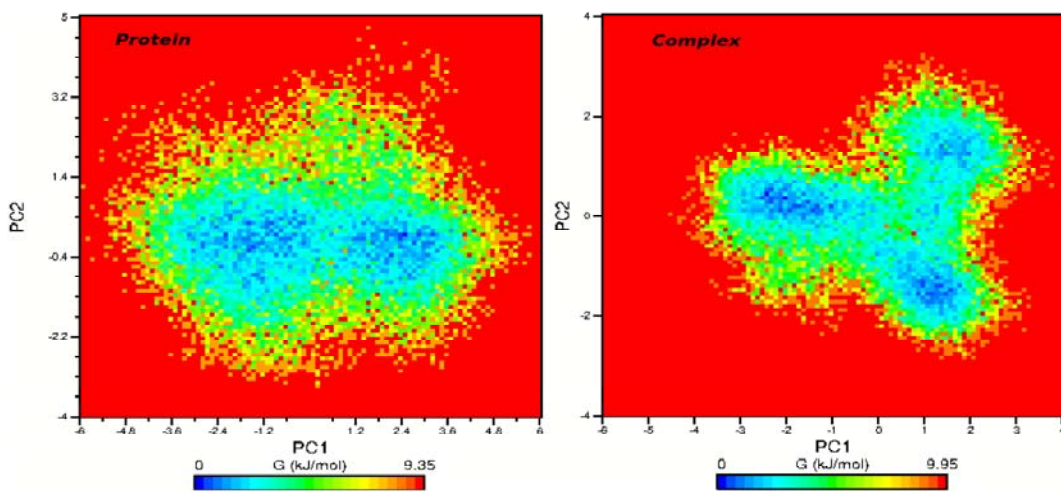
شکل ۹- نمودار PCA مربوط به فضای فاز پروتئین در حضور و عدم حضور لیگاند در PC1 و PC2

ع-چشم انداز انرژی آزاد گیبس (Gibbs Free Energy Landscape)

چشم انداز انرژی آزاد گیبس یکی از بهترین فاکتورها برای نشان دادن کنفورماسیون پایدار سیستم‌های شبیه سازی می‌باشد. همانطور که در شکل ۱۱ مشاهده می‌شود نقاط آبی رنگ مربوط به نواحی با کمترین انرژی می‌باشند و هر چقدر که به سمت قرمز حرکت می‌کنیم از مقدار پایداری کاسته می‌شود. همانطور که در این شکل مشاهده می‌شود در پروتئین آزاد کنفورماسیون‌های پایدار (رنگ آبی) در دو کلاستر به صورت پخش شده می‌باشند و این در حالی است که در حالت کمپلکس در سه کلاستر و در نقاط نزدیک هم قرار گرفته‌اند. همچنین طبق این شکل در حالت آزاد کنفورماسیونهای زیادی در نواحی زرد رنگ پخش شده‌اند. درواقع از این نمودار می‌توان چنین نتیجه گرفت که اتصال مولکول لیگاند باعث کاهش انعطاف پذیری (شکل ۱۰) و افزایش پایداری پروتئین شده است.



شکل ۱۰- نمودار RMSF پروتئین در PC1 در حضور و عدم حضور لیگاند



شکل ۱۱- چشم انداز انرژی آزاد گیبس برای دو مولکله اصلی (PC1 و PC2) حاصل از آنالیز PCA در پروتئین در حضور و عدم حضور لیگاند.

خ-بررسی ساختار دوم

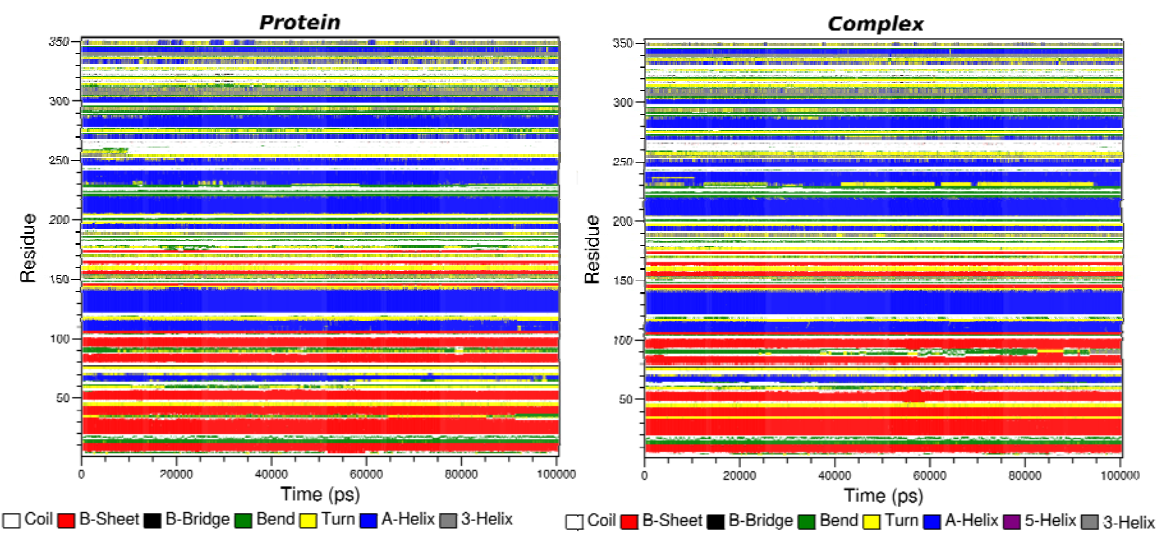
بررسی و مطالعه تغییرات ساختار دوم پروتئین یکی از فاکتورهای مهم در آنالیز تاثیرپذیری در حضور عوامل مختلف می باشد. هر چقدر میزان تغییر ساختار دوم پروتئین ها کمتر باشد نشان دهنده پایداری پروتئین است. ساختارهای دوم به دو نوع منظم و نامنظم تقسیم می شوند که ساختار دوم منظم مارپیچ آلفا، صفحه بتا، مارپیچ پای و غیره می باشد. در حال حاضر یکی از دقیق ترین نرم افزارها در آنالیز ساختار دوم، نرم افزار DSSP می باشد. این نرم افزار به ما این امکان را می دهد که بتوانیم تغییرات ساختاری در طول زمان در شبیه سازی دینامیک مولکولی مورد سنجه قرار دهیم. در این بخش تغییرات ساختار دوم آمینواسیدهای مختلف در ساختار پروتئین در طول زمان مورد آنالیز قرار گرفتند (شکل ۱۲). ساختارهای دومی که در این بخش مورد مطالعه قرار گرفته اند عبارتند از: مارپیچ آلفا، صفحات بتا، مارپیچ پای، مارپیچ .Turn، .coil و beta-bridge .bend

همانطور که در شکل ۱۲ مشاهده می شود اکثر آمینواسیدها در ساختار پروتئین دارای ساختار دوم منظم مانند مارپیچ آلفا (رنگ آبی) و صفحات بتا (رنگ قرمز) هستند. بر اساس این شکل تنها نقاط محدودی از پروتئین در حضور و عدم حضور لیگاند، دارای ساختاری coil (رنگ سفید) و turn (رنگ زرد) می باشد. طبق شکل ۱۲ در هیچکدام از حالت ها ساختار دوم پروتئین تغییر محسوسی نشان نمی دهد. در جدول ۲ میانگین ساختار دوم پروتئین در حضور و عدم حضور لیگاند نشان داده شده است. همانطور که در جدول ۲ مشاهده می شود تفاوت محسوسی بین فراوانی ساختار دوم در حضور و عدم حضور لیگاند مشاهده نمی شود.

جدول ۲- فراوانی ساختار دوم مختلف پروتئین در حضور و عدم حضور لیگاند

	Structure	Coil	B-Sheet	B-Bridge	Bend	Turn	A-Helix	3Helix
--	-----------	------	---------	----------	------	------	---------	--------

پروتئین	0/59	0/26	0/19	0/00	0/10	0/13	0/28	0/05
کمپلکس	0/59	0/25	0/18	0/01	0/10	0/14	0/27	0/06



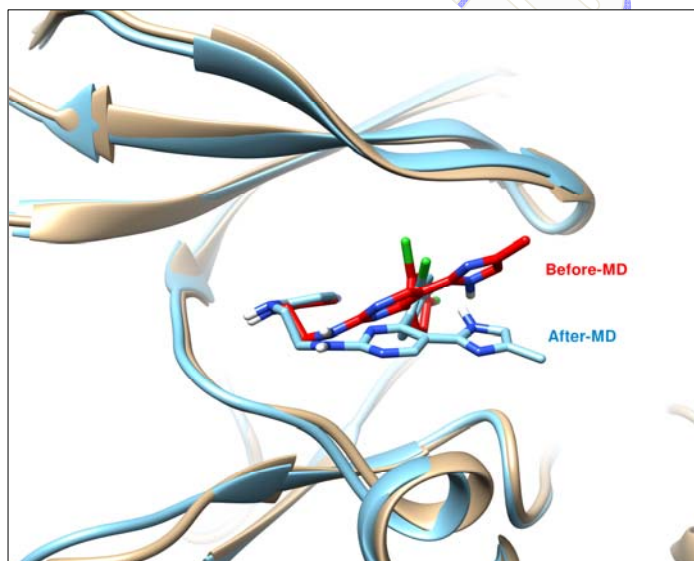
شکل ۱۲- تغییرات ساختار دوم پروتئین در حضور و عدم حضور لیگاند در طول رمان شبیه سازی

ل-پارامترهای ترمودینامیکی

انرژی آزاد اتصال بین لیگاند با پروتئین در ناحیه پایدار نمودار RMSD مورد محاسبه قرار گرفت. با توجه به نمودار RMSD (شکل ۳)، بعد از اینکه ساختار به پایداری رسید از مرحله production و طی دوره پایدار، ۴۰۰ ساختار جهت محاسبه انرژی اتصال در نظر گرفته شدند که نتایج آن در جدول ۳ آورده شده است. آنالیز جزئی تر از اجزای انرژی نشان داد که انرژی واندروالس بیشترین سهم را در اتصال لیگاند به پروتئین دارد. در این جدول، اجزای مختلف انرژی اتصال مانند انرژی واندروالس، الکترواستاتیک، حلال پوشی قطبی و غیره نشان داده شده است. همانطور که در جدول ۳ مشاهده می شود مقدار انرژی واندروالس برابر با $224/359$ - کیلوژول بر مول می باشد که نشان دهنده نقش مهم این نوع میانکنش در اتصال لیگاند به پروتئین می باشد. همچنین طبق این جدول مقدار انرژی الکترواستاتیک برابر با $23/710$ - کیلوژول بر مول است که در مقایسه با میانکنش های واندروالسی نقش مختصراً را در اتصال دارا می باشد. همچنین طبق این جدول مقدار انرژی حلال پوشی قطبی $119/938$ کیلوژول بر مول می باشد. مقدار انرژی حلال پوشی غیرقطبی نیز برابر با $20/313$ - کیلوژول بر مول می باشد. در شکل ۱۳ نیز تغییرات کنفورماسیونی مولکول لیگاند قبل و بعد از شبیه سازی نشان داده شده است. همانطور که در شکل ۱۳ مشاهده می شود در انتهای شبیه سازی مولکول لیگاند تغییر مختصراً را نسبت به حالت شروع نشان می دهد و درواقع اندکی به سمت پایین حرکت کرده است.

جدول ۳- انرژی آزاد اتصال بین لیگاند و پروتئین

kJ/mol	ΔG_{vdw}	ΔG_{elec}	$\Delta G_{solv-polar}$	$\Delta G_{solv-nonpol}$	ΔG_{MMPSA}
کمپلکس	-۲۲۴/۳۵۹	-۳۳/۷۱۰	۱۱۹/۹۳۸	-۲۰/۳۱۳	-۱۵۸/۴۴۵



شکل ۱۳- تغییرات کنفورماتیونی لیگاند قبل (قرمز) و بعد (آبی) از شبیه سازی دینامیک مولکولی

۳- پارامتر های ADMET ریز مولکول CHIR99021

در ارزیابی های ADMET برخی از خصوصیات فارماکوکیتیک ریز مولکول های CHIR99021 اعم از میزان اتحلال پذیری در آب، میزان جذب از روده، قابلیت نفوذپذیری از پوست (QPlog Kp) پیش بینی شده است. سایر خصوصیات فارماکوکیتیک کلیدی ترکیب CHIR99021 در جدول ۴ خلاصه شده است.

جدول ۴- خصوصیات ADMET یا فارماکوکیتیک ریز مولکول های CHIR99021

خصوصیات ADMET	CHIR99021	خصوصیات ۹۵٪ داروها
Molecular Weight	465.344	130.0-725.0
Total SASA (Solvent Accessible Surface Area)	673.371	300.0-1000.0
Hydrophobic SASA	167.492	0.0-750.0
Hydrophilic SASA	142.113	7.0-330.0
Carbon Pi SASA	269.187	0.0-450.0
Weakly Polar SASA (WPSA)	94.580	0.0-175.0
Molecular Volume (cm^3)	1282.826	500.0-2000.0
vdW Polar SA (PSA) (cm^2)	106.551	7.0-200.0
No. of Rotatable Bonds	8.000	0.0-15.0
Solute Globularity (Sphere = 1)	0.848	0.75-0.95
log P for hexadecane/gas	14.363	4.0-18.0
log P for octanol/gas	23.281	8.0-35.0
log P for water/gas	13.695	4.0-45.0
log P for octanol/water	3.847	-2.0-+6.5
log S for aqueous solubility ($\text{mol} \cdot \text{dm}^{-3}$)	-6.017	-6.5-+0.5
log K _{hsa} Serum Protein Binding	0.356	-1.5-+1.5
log BB for brain/blood barrier	-1.004	-3.0-+1.2
No. of Primary Metabolites	3	1.0-8.0
HERG K ⁺ Channel Blockage: log IC50	-5.277	concern below -5
Apparent Caco-2 Permeability (nm/s)	444	<25 poor, >500 great
Apparent MDCK Permeability (nm/s)	679	<25 poor, >500 great
log K _p for skin permeability (K _p in cm/h)	-2.422	
J _m , max transdermal transport rate ($\mu\text{g}/\text{cm}^2 \cdot \text{h}$)	0.002	
Lipinski's Rule of 5 Violations	0	maximum is 4
Jorgensen's Rule of 3 Violations	1	maximum is 3
% Human Oral Absorption in gastrointestinal (GI)	97	<25% is poor
Total QPlog Po/w (Lipophilicity)	3.847	
Total -log S	6.017	
Total log P MDCK (Madin-Darby Canine Kidney)	2.832	

نتیجه گیری

ترکیبات شیمیایی ریز مولکول که قادر به مهار فعل و انفعالات بین پروتئین های خاص هستند، مدتهاست که به یک رویکرد امیدبخش برای تنظیم سرنوشت سلولهای بنیادی و تمایز مستقیم برای اهداف بالینی تبدیل شده اند. پیش بینی برهمکنش این ترکیبات و بررسی خصوصیات فارماکوکیتیک این ریز مولکول ها با پروتئین های هدف‌شان از طریق شبیه سازی دینامیک مولکولی (MD) می‌تواند مکانیسم دقیق عملکرد آنها را شناسایی کرده و راه را برای انتخاب مهارکننده های قوی و مناسب هموار سازد. بدین ترتیب، ما نشان دادیم که اتصال CHIR99021 به پروتئین GSK3β دارای یک کنفورماسیونی است که از کنفورماسیون ساختار پروتئین در حالت آزاد متفاوت است. تجزیه و تحلیل شبیه سازی *in silico* نشان داد که ترکیب CHIR99021 اثرات دارویی خود را از طریق برهمکنش با ریشه های اسید آمینه اصلی اعمال می کند و این داده ای در مورد شبیه سازی انرژی آزاد CHIN99021 در محل عملکردن GSK3β ارائه می دهد. داده های ارائه شده در

اینجا نشان می‌دهد که کمپلکس لیگاند-پروتئین سبب کاهش انعطاف پذیری پروتئین در دو ناحیه اصلی در جایگاه فعال پروتئین GSK3 β شامل Val60-Val70 و Tyr142-Thr152 و در نتیجه سبب مهار فعالیت بیولوژیکی آن می‌شود. علاوه بر این، برهمکنش واندروالس نقش اصلی را در اتصال ۲۱ CHIR99021 به GSK3 β داشت. قانون Jorgensen's Rule of 3 violations (برای پیش‌بینی و بهینه سازی فعالیت ترکیب شیمیایی) برای CHIR99021 کمتر از ۱ بود که نشان دهنده مناسب بودن آن برای فعالیت‌های بیولوژیکی است. براساس قانون ۵ گانه لیپینسکی، CHIR99021 دارای فعالیت زیست‌شناسی دارویی خاصی است تا در مقایسه با سایر مهارکننده‌های GSK3 β به یک ترکیب فعال عملکردی تبدیل شود. در مجموع، می‌توان نتیجه گرفت که اتصال ۲۱ GSK3 β به CHIR99021 اثر قابل توجهی بر میزان سختی پروتئین و مهار خواص عملکردی زیستی آن دارد. این یافته یک الگوی جدید برای تأثیر CHIR99021 بر روی ساختار GSK3 β تعیین می‌کند و امکان طراحی یک ریز‌مولکول اختصاصی‌تر برای GSK3 β را فراهم می‌کند.

منابع

- .۱ Krishnankutty, A., et al., *In vivo regulation of glycogen synthase kinase 3 β activity in neurons and brains*. Scientific reports, 2017. **7**(1): p. 1-15.
- .۲ Racaud-Sultan, C. and N. Vergnolle, *GSK3 β , a Master Kinase in the Regulation of Adult Stem Cell Behavior*. Cells, 2021. **10**(2): p. 225.
- .۳ Patel, P. and J.R. Woodgett, *Glycogen synthase kinase 3: a kinase for all pathways?* Current topics in developmental biology, 2017. **123**: p. 277-302.
- .۴ Liu, K., et al., *Chemical modulation of cell fate in stem cell therapeutics and regenerative medicine*. Cell chemical biology, 2016. **23**(8): p. 893-916.
- .۵ Laco, F., et al., *Selection of human induced pluripotent stem cells lines optimization of cardiomyocytes differentiation in an integrated suspension microcarrier bioreactor*. Stem cell research & therapy, 2020. **11**(1): p. 1-16.
- .۶ Qiu, X.X., et al., *Rapamycin and CHIR 99021 Coordinate Robust Cardiomyocyte Differentiation From Human Pluripotent Stem Cells Via Reducing p53-Dependent Apoptosis*. Journal of the American Heart Association, 2017. **6**(10): p. e005295.
- .۷ Huang, J., et al., *Activation of Wnt/ β -catenin signalling via GSK3 inhibitors direct differentiation of human adipose stem cells into functional hepatocytes*. Scientific reports, 2017. **7**(1): p. 1-12.
- .۸ Wang, H., J .Hao, and C.C. Hong, *Cardiac induction of embryonic stem cells by a small molecule inhibitor of Wnt/ β -catenin signaling*. ACS chemical biology, 2011. **6**(2): p. 192-197.
- .۹ Tortelote, G.G., et al., *Complexity of the Wnt/ β -catenin pathway: Searching for an activation model*. Cellular Signalling, 2017. **40**: p. 30-43.

- .۱۰ Kadari, A., et al., *Robust generation of cardiomyocytes from human iPS cells requires precise modulation of BMP and WNT signaling*. Stem cell reviews and reports, 2015. **11**(4): p. 560-569.
- .۱۱ Alder, B.J. and T.E. Wainwright, *Phase transition for a hard sphere system*. The Journal of chemical physics, 1957. **27**(5): p. 1208-1209.
- .۱۲ Bennett, C.H., *Efficient estimation of free energy differences from Monte Carlo data*. Journal of Computational Physics, 1976. **22**(2): p. 245-268.
- .۱۳ Berendsen, H., *Report of CECAM Workshop: models for protein dynamics*. Orsay, May, 1976. **24**.
- .۱۴ Bowers, K., et al., *Proceedings of the ACM/IEEE Conference on Supercomputing (SC06)*. Tampa, Florida, November, 2006: p. 11-17.
- .۱۵ Bowman, G.R., V.A. Voelz, and V.S. Pande, *Atomistic folding simulations of the five-helix bundle protein λ6-85*. Journal of the American Chemical Society, 2011. **133**(4): p. 664-667.
- .۱۶ Boyce, S.E., et al., *Predicting ligand binding affinity with alchemical free energy methods in a polar model binding site*. Journal of molecular biology, 2009. **394**(4): p. 747-763.
- .۱۷ Case, D.A., et al., *The Amber biomolecular simulation programs*. Journal of computational chemistry, 2005. **26**(16): p. 1668-1688.
- .۱۸ Chong ,L.T., et al., *Molecular dynamics and free-energy calculations applied to affinity maturation in antibody 4G87*. Proceedings of the National Academy of Sciences, 1999. **96**(25): p. 14330-14335.
- .۱۹ Christen, M., et al., *The GROMOS software for biomolecular simulation: GROMOS05*. Journal of computational chemistry, 2005. **26**(16): p. 1719-1751.
- .۲۰ Duan, Y. and P.A. Kollman, *Pathways to a protein folding intermediate observed in a 1-microsecond simulation in aqueous solution*. Science, 1998. **282**(5389): p. 740-744.
- .۲۱ Essmann, U., et al., *A smooth particle mesh Ewald method*. The Journal of chemical physics, 1995. **103**(19): p. 8577-8593.
- .۲۲ davari, k., et al., *Inhibitor discovery against beta lactamase CTX-M-9 from E.coli by molecular docking, MM/PBSA and molecular dynamics studies*. Cellular and Molecular Research (Iranian Journal of Biology), 2019. **32**(1): p. 19-31.
- .۲۳ Abidi, M., *The effect of pH changes on the unfolding force of titin immunoglobulin domain I27 using steered molecular dynamic simulation*. Cellular and Molecular Research (Iranian Journal of Biology), 2019. **32**(2): p. 219-229.
- .۲۴ Mehrnejad, F., et al., *Molecular Dynamics Simulation of Acetylcholinesterase in the Presence of Gold Nanoparticles*. Cellular and Molecular Research (Iranian Journal of Biology), 2020: p- .
- .۲۵ Bocci, G., et al., *ADME-Space: a new tool for medicinal chemists to explore ADME properties*. Scientific reports, 2017. **7**(1): p. 1-13.

- .۲۶ Doogue, M.P. and T.M. Polasek, *The ABCD of clinical pharmacokinetics*. 2013, Sage Publications Sage UK: London, England.
- .۲۷ QikProp, version 4.4, Schrödinger, LLC, New York, NY, Release 2015-2
- .۲۸ Lipinski, C.A., et al., *Experimental and computational approaches to estimate solubility and permeability in drug discovery and development settings*. Advanced drug delivery reviews, 1997. **23**(1-3): p. 3-25.

Study of structural and dynamic changes of GSK3 β protein in the presence of CHIR99021 ligand using molecular simulation and docking

Javad Kazemi¹, Hosein Shahsavarani^{2,3*}, Parviz Pakzad¹, Mohammadali Shokrgozar^{2,4*}

¹ Department of Cellular and Molecular Biology, Faculty of Biological Sciences, North Tehran Branch, Islamic Azad University, Tehran, Iran

² Department of Cell and Molecular Sciences, Faculty of Life Science and Biotechnology, Shahid Beheshti University, Tehran, Iran

³ Laboratory of Regenerative Medicine and Biomedical Innovation, Pasteur Institute of Iran, Tehran, Iran

⁴ Department of National Cell Bank, Pasteur Institute of Iran, Tehran, Iran

***corresponding author's email:** Dr. Hosein Shahsavarani, Faculty of Life Science and Biotechnology, Shahid Beheshti University, Tehran, Iran & Laboratory of Regenerative Medicine and Biomedical Innovations, Pasteur Institute of Iran, Tehran, Iran; P.O. Box 48168-194, Tel: +98-9194873566; hosein.shahsavarani@gmail.com; Dr. Mohammadali Shokrgozar, Department of National Cell Bank, Pasteur Institute of Iran, Tehran, Iran Email: mashokrgozar@pasteur.ac.ir

Abstract

Glycogen synthase kinase 3 beta (GSK3 β) is a multifunctional serine/threonine kinase that play as a bottleneck protein in the WNT signaling pathway in various functions of pluripotent stem cells (PSCs) such as Self-renewal, survival and differentiation. Since the inhibition of GSK3 β leads to the differentiation of PSCs, the use of appropriate inhibitors that inhibit GSK3 β at lower concentrations can be economically affordable. One of the most important inhibitors is CHIR99021, which can improve the culture and differentiation systems of PSCs. Present study aimed to investigate the molecular dynamics (MD) simulation such as Root Means Square Deviation (RMSD), Root Means Square fluctuation (RMSF), number of hydrogen bonds, principal component analysis (PCA), radius of gyration, Gibbs free energy landscape, in the presence and absence of CHIR99021 were evaluated and the stability and structural changes of GSK3 β protein were simulated using GROMACS 2021.1 software. In addition, the pharmacokinetic properties of this compound were predicted using Schrödinger, LLC, New York, NY, Release 2015-2 software. The results of these studies showed that CHIR99021 binds to the active site of GSK3 β through

hydrogen bonding and produces its inhibitory effect, thus causing instability of the GSK3 β structure. Docking and computational analysis confirmed that this chemical compound can be effectively used for directing cell fate and differentiation of PSCs.

Keywords: pluripotent stem cells (PSCs); CHIR99021; GSK3 β ; ADMET; molecular dynamics (MD) simulation; Molecular docking

preprint accepted